

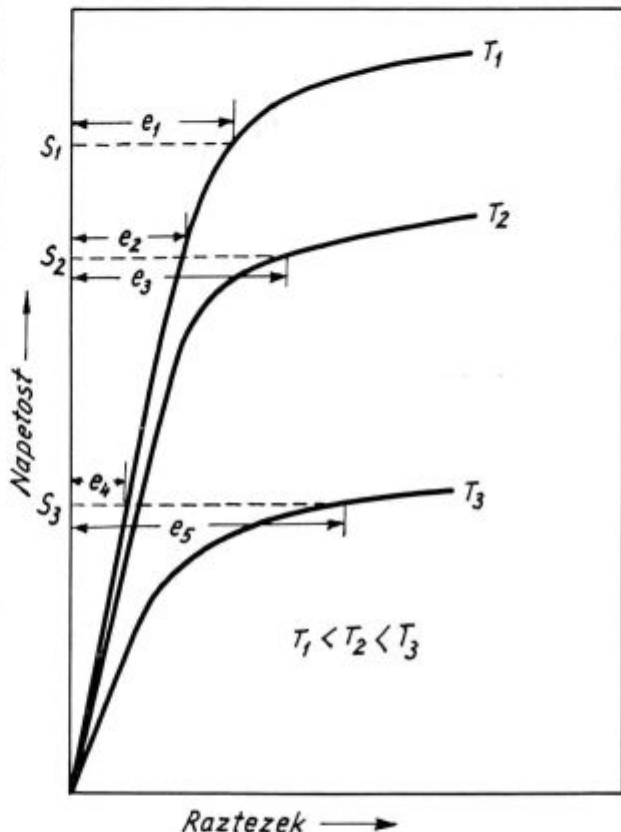
Vpliv cikličnih termičnih obremenitev na izdržljivost kokilne litine

Iz štirih vrst litine in sicer običajne kokilne litine, litine z nizkim žveplom, modificirane in nodularne litine so bile izdelane probe za preiskavo cikličnih termičnih udarov. Obenem so bile iz istih litin vlate tudi jeklarske kokile. Probe so bile vpete v tog okvir, ki ni dopuščal nobenih deformacij. Togo vpete probe so bile elektrouporovno ogrevane do 850°C in so se nato ohlajevale na zraku. Celotni termični ciklusi so trajali 150 sekund in so se ponavljali vse do zloma probe. Ugotovili smo, da obstaja določena odvisnost med številom termičnih udarov, ki jih je izdržala proba in trajnostjo kokile izdelane iz iste litine.

Temperaturne razlike se razvijajo v kokilni litini pri hitrem segrevanju. Največje temperaturne razlike so pri najvišji temperaturi, katero doseže kokilna litina. Ker ima kokilna litina pri tej temperaturi majhno odpornost proti plastičnim deformacijam so termične napetosti reducirane na minimum. Največje termične napetosti se razvijojo med segrevanjem do maksimalne temperature, takrat, ko je litina še odporna proti plastičnim deformacijam in je sposobna sprejemati napetosti v elastičnem področju. Pri segrevanju jeklarske kokile se na notranji strani pojavijo tlačne napetosti. Njim držijo ravnotežje napetosti na zunanjih strani stene kokile, ki so natezne. Med njima je nevtralna črta, v kateri se ne pojavljajo nobene napetosti. V praksi se med litjem v jeklarsko kokilo nevtralna cona spreminja, vendar opisani principi ostanejo nespremenjeni.

Ce se trdnost materiala ne spreminja v odvisnosti od temperature, tedaj so krivulje nateznih in tlačnih napetosti v tlačni in natezni coni približno enake. Ravno tako so enake tudi deformacije, ki nastanejo zaradi tlačnih in nateznih napetosti. Ce pa nastopajo spremembe v trdnosti materiala, so raztezki v tistem delu stene kokile, ki ima višjo temperaturo in manjšo trdnost veliko večje kot v nasprotnem delu stene kokile, kjer je nizka temperatura in ima material še običajno trdnost. Razlike v raztezkih so tem večje, čim bolj se zniža trdnost litine.

Ti pojavi so shematično prikazani na sliki 1, ki prikazuje krivulje tlačnih odnosno nateznih sil v diagramu napetost-raztezek. Termične napetosti so odvisne od velikosti preprečenega termičnega raztezka, ki se je absorbiral kot mehanska napetost, za katero predpostavljamo, da je velika $2\ell_1$. Ce se



Slika 1
Krivulja napetost — raztezek pri različnih temperaturah

ni znižala trdnost zaradi temperature, so tlačne in natezne krivulje napetost-raztezek za notranji in zunanjemu del stene kokile podane z eno od krivulj na sliki 1 (n. pr. T_1). Mehanski raztezek je med tlačnimi in natezni napetostmi porazdeljen tako, da je celotna dimenzijska sprememba enaka e_1 , kar bo dalo tlačne in natezne napetosti S_1 . Ce je temperatura na notranjem delu stene kokile višja (T_2) in ustrezna napetost nekoliko nižja od zunanje (T_1), se pojavijo manjše termične napetosti S_2 , ki se v ravnotežju s skupnim mehanskim raztezkom

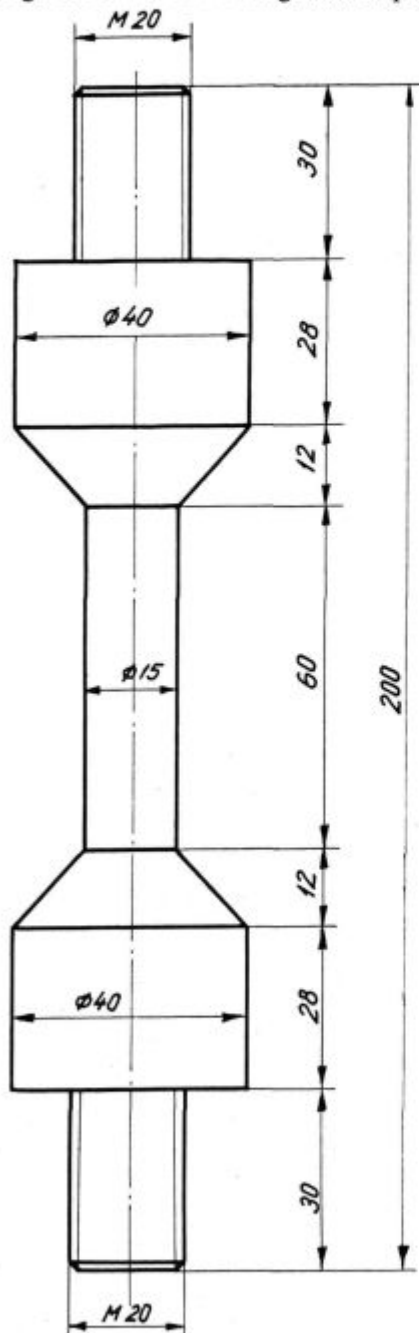
$$2e_1 = e_2 + e_3$$

Tudi iz slike 1 je razvidno, da je napetost pri višjih temperaturah manjša kot pri nižjih. Ugotoviti je mogoče tudi to, da je raztezek pri višji

temperaturi T_3 večji in bolj izrazit istočasno z večjim padcem trdnosti, čeprav je termična napetost (S_t) nižja in skupni mehanski raztezek enak

$$2e_1 = e_4 + e_5.$$

Povečanje raztezka na visokotemperaturni strani stene kokile, kjer je padec trdnosti večji, ni odvisno od trdnosti, ki jo ima litina pri običajni temperaturi. Odvisno je samo od padca osnovne trdnosti med visoko in nizko temperaturno stranjo stene kokile. Verjetnost, da bo nastopil zlom se ne zmanjša z nižjimi termičnimi napetostmi pri višji temperaturi. Termična napetost je odvisna od temperaturnega raztezka in od diagrama napetost-raz-



Slika 2
Izmere probe

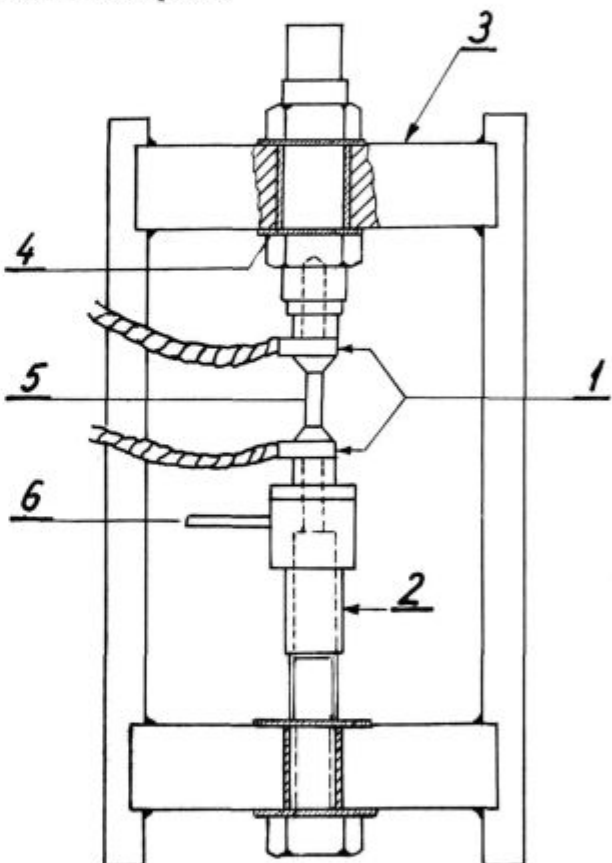
tezek, ki je karakterističen za vsak material. Slika 1 prikazuje, da so na notranji visokotemperaturni strani stene kokile mogoče razpoke pri nizkih termičnih napetostih in večjih raztezkih. Termične napetosti so tedaj veliko manjše kot pri običajni temperaturi.

Opisana dogajanja v jeklarski kokili med litjem smo ponovili pri preiskovanju kokilne litine. Pri preiskavah smo uporabili 4 vrste kokilnih litin in sicer:

1. običajno kokilno litino, ki se zaenkrat še najbolj uporablja pri nas.

2. kokilno litino z nizkim žveplom.

Dosedanja preiskovanja s statistično analizo so pokazala, da od glavnih elementov najbolj vpliva na trajnost kokil žveplo. Kokile z nižjim žveplom so pokazale pri statistični analizi tendenco večje trajnosti. Zaradi tega smo uporabljali probe, ki so bile izdelane iz kokilne litine, katera je bila predhodno razžveplana.



1 - priključki za el. tok
2 - strain-gage
3 - jarem
4 - izolacija
5 - proba 15 mm premera
6 - vodno hlajenje

Slika 3
Okvir za izvajanje termičnih udarov

3. modificirana kokilna litina.

Probe so bile izdelane iz kokilne litine, ki je bila predhodno modificirana. Z modificiranjem smo nameravali doseči boljše izoblikovanje in porazdelitev grafita ter ugodnejšo osnovno strukturo.

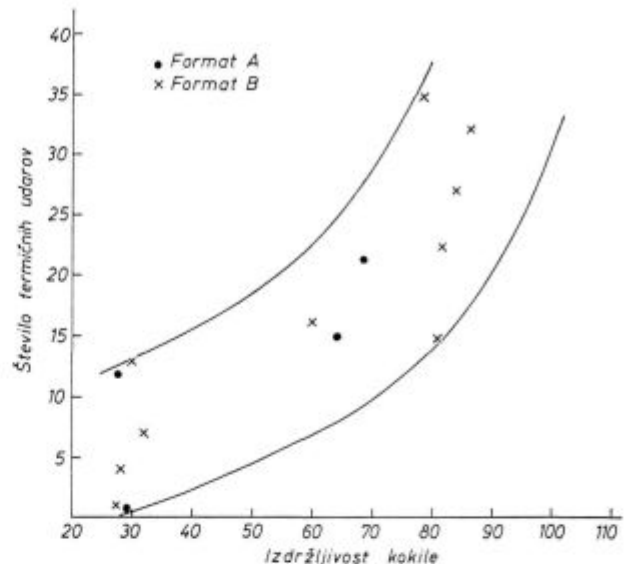
4. nodularna litina.

V svetu se vedno bolj uporabljajo kokile, ki so izdelane iz nodularne litine. Dosedanje izkušnje so pokazale, da so kokile, ki so izdelane iz nodularne litine, pokazale znatno večjo trajnost.

Iz navedenih vrst kokilnih litin smo izdelali preizkusne probe z izmerami, ki so prikazane na sliki 2. Obenem so bile ulite iz istega materiala tudi jeklarske kokile, ki so se nato uporabljale v jeklarnah. Pri uporabi se je opazovala njihova trajnost in vzroki izločanja.

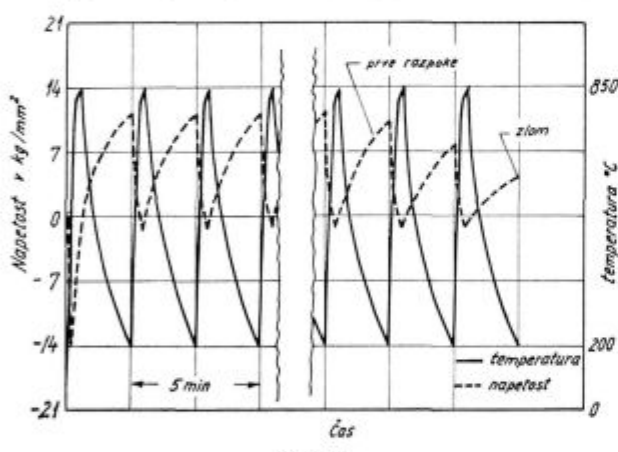
Probe smo preiskovali s posebno metodo. Vpeli smo jih v okvir, ki ni dopuščal niti raztezkov niti skrčkov (slika 3). Probo, ki je bila tako povsem tega vpeta, smo ciklično ogrevali s pomočjo električno upornega gretja. Za ogrevanje smo uporabili transformator z močjo 40 kW, kateri je dajal električni tok z jakostjo približno 2000 A in napetostjo nekaj V. Dogajanja v probi med izvajanjem posameznih ciklov so razvidna iz slike 4, ki shematično prikazuje napetosti pri spremembah tem-

ba ohlajevati, litina se je krčila, kar je imelo za posledico, da so se v probi pojavile natezne napetosti. Proba se pri ohlajevanju ni več ohladila do normalne temperature, temveč približno na 200°C.



Slika 5

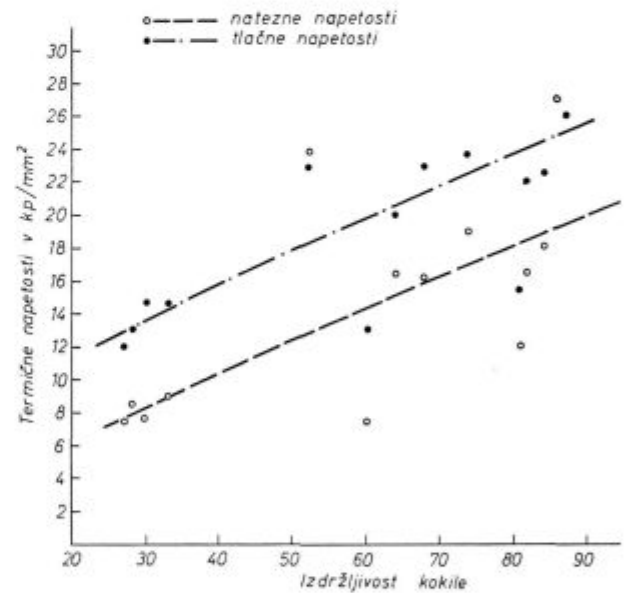
Stevilo termičnih udarov v odvisnosti od vzdržnosti kokil



Slika 4

Shematični prikaz napetosti in temperature v probi

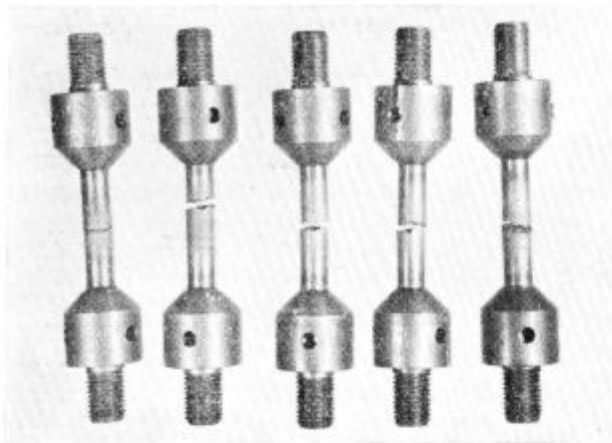
ture v probi. Z električnim tokom smo probo ogreli v približno 20–25 sekundah na temperaturo 850°C. Ko je proba dosegla to temperaturo, smo tok izklopili in proba se je ohlajala 125–130 sekund. Celotni ciklus je trajal 150 sekund. Pri tem so se v probi pojavljale natezne in tlačne obremenitve. Pri prvem ciklusu, ko se je toga vpeta proba ogrevala od običajne temperature na temperaturo 850°C so se v probi pojavljale velike tlačne napetosti. Tlačne napetosti so dosegle maksimalno vrednost med samim ogrevanjem. Ko se je temperatura približevala 850°C, litina ni bila več sposobna sprejemati napetosti v elastičnem območju in se je plastičnost deformirala. Pri maksimalni temperaturi so znašale tlačne napetosti samo še nekaj kg/mm^2 . Po končanem ogrevanju se je pričela pro-



Slika 6

Velikost termičnih napetosti v odvisnosti od vzdržnosti kokil

Cikluse smo ponavljali do zloma probe. Celotni ciklus je potekal povsem avtomatično. Temperaturo smo merili s pomočjo elektronskega optičnega pirometra, ki je avtomatsko izklopil električni tok, ko je bila dosežena temperatura. Časovni potek je bil reguliran s pomočjo časovnih relejev. Da bi lahko merili napetost v probi, smo vključili obenem s probo v okvir tudi merilno celico, s pomočjo katere smo ugotavljali napetosti v preiskovani



Slika 7
Probe po zlomu



Diagram običajne kokilne litine : A-temperatura
B-napetosti



Diagram litine z nizkim S : A-temperatura
B-napetosti

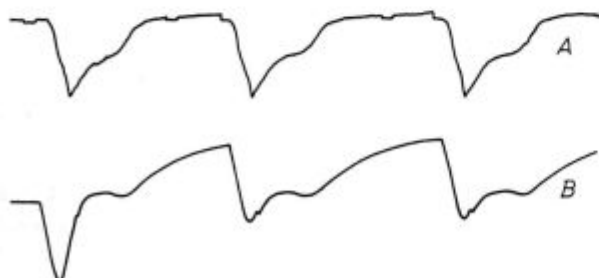


Diagram modificirane litine : A - temperatura
B - napetosti

Slika 8

Diagram dejanskega poteka napetosti in temperature v probi

probi. Merjenje napetosti je bilo s pomočjo tenzometrov. Napetosti in temperaturo smo registrirali na registrirni trak.

Rezultate, katere smo dosegli z opisano probo, so podani v tabeli in na sliki 5. V naslednji tabeli so podane termične napetosti, ki so se pojavile v probi med temperaturnimi ciklusmi. Slika 6 pa prikazuje kakšna odvisnost obstoja med velikostjo termičnih napetosti in vzdržnostjo kokile. Slika 7

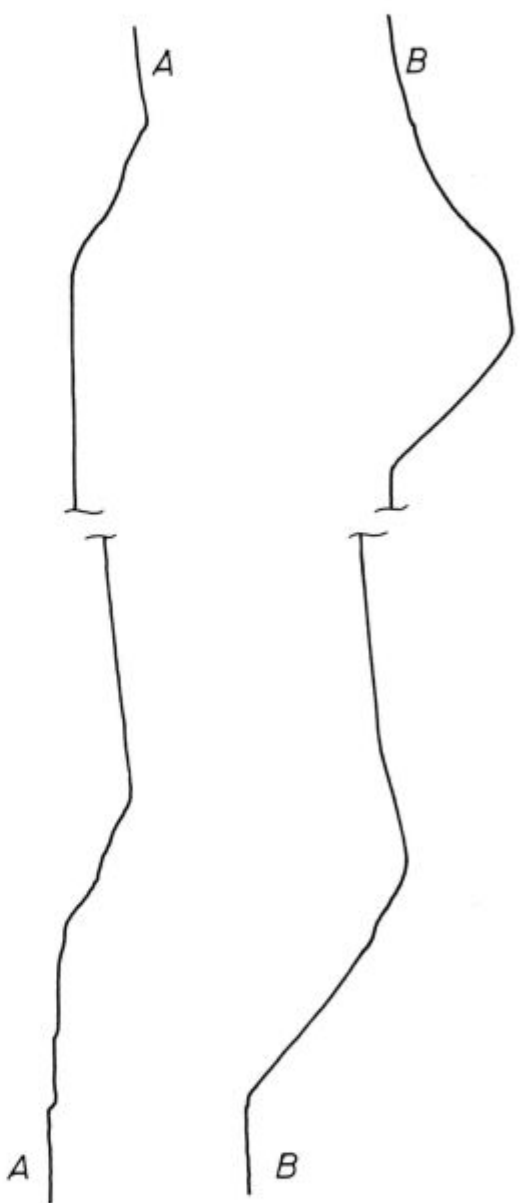


Diagram nodularne litine:

A — temperatura
B — napetosti

Slika 9

Diagram dejanskega poteka napetosti in temperature v probi

nam kaže probe po zlomu. Na slikah 8 in 9 so prikazane krivulje dejanskega poteka napetosti in temperature v probah.

Vzdržnost prob in vzdržnost kokil

Številka probe	Vrsta litine	Število termičnih udarov	Izdržljivost kokile
Format A			
38	litina z nizkim S	12	27
44	litina z nizkim S	1	29
1	modificirana litina	23	68
19	modificirana litina	15	64
3	nodularna litina	200	52
Format B			
25	hematitna litina	15	81
27	hematitna litina	13	30
18	litina z nizkim S	32	86
30	litina z nizkim S	4	28
37	litina z nizkim S	16	60
41	litina z nizkim S	1	26
46	litina z nizkim S	7	33
9	modificirana litina	23	82
11	modificirana litina	35	74
13	modificirana litina	27	84

Format A = OK 350

Format B = OKGV 255

Velikost termičnih napetosti v probah

St. probe	Termične napetosti (max.)		
	tlačne kp/mm ²	natezne kp/mm ²	
Format A			
38	1. ciklus	2. ciklus	
44	12,0	2,5	7,6
	—	—	—
	1	23,7	4,1
	19	20,1	3,5
	3	23,8	3,5
Format B			
	1. ciklus	2. ciklus	
25	15,4	2,4	11,9
27	114,3	2,4	7,9
18	26,0	4,7	27,1
30	13,0	2,4	8,3
37	13,0	2,4	8,3
41	14,2	2,4	8,9
46	22,0	4,2	16,5
9	23,8	4,7	19,0
11	22,5	6,0	19,0

Iz diagramov je razvidno, da nastopajo tako pri ogrevanju kakor tudi pri ohlajevanju določene anomalije odnosno zakasnitve, je povezano s strukturnimi spremembami v materialu.

Zaključek

Med številom termičnih udarov, ki jih je vzdržala proba in med izdržljivostjo ustrezone kokile obstoja neka odvisnost. Upoštevati pa moramo, da so bile probe podvržene predvsem obremenitvam zaradi termičnih napetosti, medtem ko so jeklarske kokile izločene ne samo zaradi razpok, temveč tudi zaradi zajed. Ravnato obstoja določena odvisnost med velikostjo termičnih napetosti in iz-

držnostjo kokile. Čim večje so notranje termične napetosti, tem bolj kvalitetna je litina in tem večja je tudi njena trajnost. Običajna kokilna litina in litina z nizkim žveplom sta imeli nižje termične napetosti kot modificirana in nodularna litina.

Opisane preiskave še niso dokončane. Nadaljnje delo bo pokazalo ali je mogoče dobiti točnejšo odvisnost med številom termičnih udarov, ki jih je izdržala neka litina in trajnostjo jeklarske kokile.

Literatura

- H. Bühler in W. Schepp: »Beitrag zur Frage der Eigenspannungen in Gusseisen«, Giesserei TWB 1959 H. 25 str. 1395—1401.
- W. Grundig: Über den Elastizitätmodul E₀ der graphithaltigen Eisenwerkstoffe, Giesserei TWB 1956 H. 16 str. 809—814.

- E. Houdremont in H. Scholl: »Die Bewertung innerer Spannungen für die Praxis«, Metallkunde, 1959, zv. 9, str. 503—511.
- H. Schlechtweg: »Spannungsmessungen an Gusseisen nach dem modifizierten Invarianten Verfahren«, Giesserei TWB, 1955, zv. 15, str. 801—803.
- J. R. Kattus: »Study of Mold-Iron Compositions«, Blast Furnace and Steel Plant, Februar 1961, str. 159—163.

ZUSAMMENFASSUNG

In der Praxis ist es gewöhnlich schwer zu beweisen, dass ein zu früheres Ausfallen der Kokille durch die zu schlechte Beständigkeit des Kokillengusses verursacht wird. Deswegen haben wir eine Methode überprüft, welche für die Bestimmung der Beständigkeit des Kokillengusses bei wiederholten thermischen Beanspruchungen dienen

sollte und nach welcher eine Schätzung der Kokillenbeständigkeit möglich wäre.

Die Probe haben wir in ein Joch eingespannt, welches keine Zusammensrumpfungen und Ausdehnungen erlaubte. Die Probe haben wir elektrisch auf eine Temperatur von 850°C erwärmt. Bei dieser Erwärmung welche 20 bis 30

Sekunden dauerte, entstanden Druckspannungen und beim Abkühlen Zugspannungen. Diese Erwärmung wiederholten wier bis zum Bruch.

Wir haben auf diese Weise vier Sorten des Gusseisens untersucht und zwar: den üblichen Kokillenguss, Guss-eisen mit niedrigem Schwefelgehalt, modifizierten Guss-eisen und Gusseisen mit Kugelgraphit.

Die Proben haben abhängig von der Struktur des Guss-eisens verschiedene Zahl der Zykeln ausgehalten. Manche Proben mit völlig weisser Struktur (Gusseisen mit niedri-gen Schwefelgehalt) hielten nur einige Zykel aus. Etwas besser waren die Proben aus dem gewöhnlichen Kokillenguss. Sie hielten bis zu 10 Zykel aus. Der modifizierte Guss hielt von 20 bis 45 Zykel aus. Die Proben aus dem Guss-eisen mit Kugelgraphit hielten ohne Bruch 200 Zykel aus.

SUMMARY

In practice it is difficult to prove that a too low lifetime of a mold has origin in mold casting. Therefore a method was tested at the Metallurgical Institute in Ljubljana which enables us to test endurance of mold castings under repeated thermal stresses in order to forecast lifetimes of molds.

A specimen is fixed in a rigid frame which does not allow expansions or contractions. Specimens were electrically heated to 850° C. When heated up for 20 to 30 secs, compressive stresses appear in the specimen and during cooling off time tensile stresses are present. The heating-up periods were repeated until the break down of the specimen.

- Four sorts of castings were tested by this method:
an ordinary mold casting

a casting with low sulphur
a modified casting, and
a nodular casting.

Depending upon the microstructure of castings, specimens were able to stay various numbers of heating and cooling off cycles. Some specimens with a completely white microstructure (castings with low sulphur) were able to stay only few cycles. Somewhat better endurance was shown by specimens of ordinary mold casting (up to 10 cycles).

Modified castings stayed 20 to 45 cycles, and specimens of nodular castings were able to stay even 200 cycles before the break down.

ЗАКЛЮЧЕНИЕ

В практике обыкновенно трудно доказать, что причина плохой стойкости изложниц плохая стойкость кокильного литья. Поэтому на Металлургическом заводе в Любляне (Югославия) испытаны метод по которому было бы возможно определить стойкость кокильного литья на основании чередующих термических нагрузок и наперёд дать оценку о стойкости изложниц.

В ярмо, которое не допускало усадков и растяжений, прикрепленная проба была путем электрического сопротивления подвержена нагреву на темп. от 850° Ц. При этом нагреве, которое длилось всего 20—30 сек. возникали сжимающие напряжения а при

охлаждении силы растяжения. Нагрев повторяли до излома пробы.

Таким образом испытаны четыре sorta литья, и то: обыкновенное кокильное литьё, литьё с низким содержанием серы, модифицированное литьё и литьё с шаровидным графитом. В отношении на структуру, пробы выдержали различное число циклов. Некоторые пробы, на переломе белой структуры, выдержали всего несколько циклов. Немного лучшую стойкость до 10 циклов выдержали пробы из кокильного литья. Пробы из модифицированного литья выдержали 20—45 циклов, а пробы с шаровидным графитом выдержали без излома до 200 циклов.